

ОБЪЕДИНЕННЫЙ
ИНСТИТУТ
ЯДЕРНЫХ
ИССЛЕДОВАНИЙ
ДУБНА

134 Р1-88-685

Г.Р.Гулканян*, И.М.Равинович*, А.П.Чеплаков

ИНКЛЮЗИВНЫЕ И МНОЖЕСТВЕННЫЕ
ХАРАКТЕРИСТИКИ КУМУЛЯТИВНЫХ ПРОТОНОВ
В ЯДРО-ЯДЕРНЫХ ВЗАИМОДЕЙСТВИЯХ
ПРИ ИМПУЛЬСЕ 4,2 ГэВ/с НА НУКЛОН

Направлено в журнал "Ядерная физика"

* Ереванский физический институт

1988

Изучению процессов образования кумулятивных протонов во взаимодействиях частиц высоких энергий с атомными ядрами посвящено большое число работ. В ядро-ядерных столкновениях, где могут проявляться новые интересные свойства кумулятивного рождения^{/1/}, эти процессы, особенно в области энергий свыше нескольких ГэВ на нуклон, изучены сравнительно мало^{/2-7/}.

В настоящей работе представлены новые экспериментальные данные по множественным характеристикам и инклузивным спектрам кумулятивных протонов в области углов их вылета $\theta_p > 90^\circ$ и импульсов ($250 \div 750$) МэВ/с во взаимодействиях протонов и легких релятивистских ядер d , He и C с ядрами углерода и tantalа при первичном импульсе $4,2$ ГэВ/с на нуклон. Эксперимент выполнен с помощью двухметровой пропановой пузырьковой камеры ЛВЭ ОИЯИ, облученной в пучках ядер дубненского синхрофазотрона. В рабочем объеме камеры размещались три тонкие (~1 мм) tantalовые пластины / $A = 181$ /. Методические вопросы эксперимента подробно изложены в работе^{/8,9/}.

Статистика используемых в данной работе взаимодействий приведена в табл.1. Там же приведены средние множественности $\langle n_p^k \rangle$ и инклузивные сечения $\sigma_{A_p A_T}$ (A_p - снаряд, A_T - мишень) образования протонов с импульсами ($250 \div 750$) МэВ/с, вылетающих в заднюю полусферу ($\theta_p > 90^\circ$). При вычислении инклузивных сечений $\sigma_{A_p A_T}^k = \sigma_{A_p A_T}^{in} \cdot \langle n_p^k \rangle$ использовались неупругие сечения $\sigma_{A_p A_T}^{in}$ ядро-ядерных взаимодействий, взятые из работы^{/8/}. В отдельной колонке представлены имеющиеся результаты расчетов по дубненской версии каскадной модели /ДКМ//^{10/}.

Зависимость $\sigma_{A_p A_T}^k$ от атомного веса ядра-снаряда A_p аппроксимировалась степенной зависимостью $\sim A_p^{-\alpha}$. Показатель α для tantalовой мишени $\alpha_{Ta} = 0,68 \pm 0,03$ примерно на 10% больше показателя для углеродной мишени $\alpha_C = 0,61 \pm 0,04$. Зависимость инклузивных сечений от атомного веса ядра-мишени A_T оказалась практически одинаковой для всех снарядов; при степенной аппроксимации этой зависимости $\sim A_T^{-\beta}$ показатели β для налетающих ядер p , d , He и C равны соответственно $1,22 \pm 0,04$, $1,21 \pm 0,04$, $1,26 \pm 0,03$, $1,27 \pm 0,03$. Слабая зависимость /в пределах экспериментальных ошибок/ показателей α и β от комбинаций сталкивающихся ядер позволяет описать экспериментальные дан-

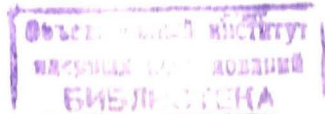


Таблица 1

$A_p A_T$	$N_{\text{соб.}}$	$\sigma_{A_p A_T}^k$	$\langle n_p^k \rangle_{\text{эксп.}}$	$\langle n_p^k \rangle_{\text{ДКМ}}$
pC	3561	40 ± 4	$0,15 \pm 0,01$	$0,19 \pm 0,01$
dC	5029	69 ± 5	$0,18 \pm 0,01$	$0,20 \pm 0,01$
HeC	1967	105 ± 6	$0,23 \pm 0,01$	$0,21 \pm 0,01$
CC	4115	183 ± 14	$0,23 \pm 0,01$	$0,29 \pm 0,01$
pTa	1673	1086 ± 76	$0,65 \pm 0,02$	-
dTa	1176	1891 ± 129	$0,97 \pm 0,05$	-
He Ta	1597	3382 ± 162	$1,39 \pm 0,05$	-
СTa	1237	5925 ± 278	$1,73 \pm 0,06$	-

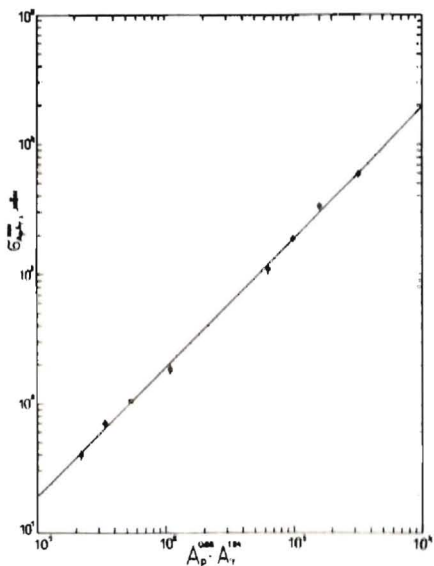


Рис.1. Зависимость инклюзивного сечения рождения кумулятивных протонов от атомных весов сталкивающихся ядер. Точки - экспериментальные данные, линия - результат аппроксимации выражением $\sim A_p^\alpha A_T^\beta$.

ные приближенным факторизованным выражением $\sigma_{A_p A_T}^k = \sigma_0 \cdot A_p^\alpha \cdot A_T^\beta$, где $\sigma_0 = 1,86 \pm 0,16$ мб, $\alpha = 0,66 \pm 0,02$, $\beta = 1,24 \pm 0,02$ /рис.1/. Отметим, что примерно такая же факторизованная зависимость ранее была получена в работе /11/ для инклюзивных сечений протонов с импульсами $(0,4 \pm 1)$ ГэВ/с при угле вылета

$\theta_p \approx 180^\circ$ в пучках ядер p, He, C, Ar с энергиями $T=1 \pm 2$ ГэВ на нуклон ($\alpha \approx 2/3$, $\beta = 4/3$) и в работе /2/ для инклюзивных сечений протонов с импульсами $P_p > 340$ МэВ/с при углах $\theta_p > 120^\circ$ в пучках ядер He и C с импульсом 4,5 ГэВ/с на нуклон / $\alpha = 0,5 \div 0,7$, $\beta = 1,4 \div 1,6$ /.

Таблица 2

A_p	R	d	He	C	Среднее
$\frac{\sigma_{A_p T_a}^k}{\sigma_{A_p C}^k}$	$27,2 \pm 3,3$	$27,4 \pm 2,7$	$32,2 \pm 2,3$	$32,4 \pm 2,9$	$29,8 \pm 2,3$

Полученная зависимость $\sigma_{A_p A_T}^k$ от A_p близка к A-зависимости неупругого pA -сечения $\sigma_{pA}^{\text{in}} \sim A^{2/3}$, откуда следует, что отношение $\sigma_{A_p A_T}^k / \sigma_{pA}^{\text{in}} \sim A_T^{\beta}$ является с точностью до $10 \div 15\%$ универсальной /не зависящей от типа ядра-снаряда/ величиной, характеризующей источник кумулятивных протонов - ядро-мишень. Этот факт теоретически предсказан в модели малонуклонных корреляций /12/ и экспериментально подтвержден в упомянутых выше работах /2, 11/. Из предсказываемого в модели /12/ "закона подобия" инклюзивных спектров следует, в частности, независимость отношения инклюзивных сечений $\sigma_{A_p A_{T1}}^k / \sigma_{A_p A_{T2}}^k$ от атомного веса ядра-снаряда A_p . Как видно из табл.2, это предсказание выполняется с точностью ~8%.

Остановимся более подробно на зависимости инклюзивных сечений от A_p . Ранее было показано /13, 14/, что средние множественности пионов $\langle n_\pi \rangle_{A_p A_T}$ в ядро-ядерных столкновениях пропорциональны среднему числу проявленных нуклонов ядра-снаряда $\langle n_p \rangle = A_p \cdot \sigma_{NAT}^{\text{in}} / \sigma_{A_p A_T}^{\text{in}}$:

$$\langle n_\pi \rangle_{A_p A_T} = \frac{A_p \cdot \sigma_{NAT}^{\text{in}}}{\sigma_{A_p A_T}^{\text{in}}} \cdot \langle n_\pi \rangle_{NAT} \quad /1/$$

Этот факт свидетельствует о том, что основным механизмом рождения пионов являются независимые взаимодействия нуклонов налетающего ядра с ядром-мишенью. Из /1/ следует простое соотношение для инклюзивных сечений π -мезонов:

$$\frac{\sigma_{A_p A_T}^\pi}{A_p \cdot \sigma_{NAT}^\pi} = 1 \quad /2/$$

Иначе обстоит дело с инклюзивными сечениями кумулятивных протонов. Как следует из представленных в табл.1 данных, левая часть выражения /2/ для кумулятивных протонов всегда меньше единицы, заметно зависит от A_p и, возможно, намного слабее -

Таблица 3

A_p	d	He	C
$R(A_p, C)$	$0,86 \pm 0,11$	$0,66 \pm 0,08$	$0,38 \pm 0,05$
$R(A_p, Ta)$	$0,87 \pm 0,09$	$0,78 \pm 0,07$	$0,45 \pm 0,04$

от A_T :

$$\frac{\sigma_{A_p A_T}^k}{A_p \cdot \sigma_{N A_T}^k} = R(A_p, A_T) < 1.$$

/3/

Экспериментальные значения $R(A_p, A_T)$ приведены в табл.3, из которой следует, что выход протонов назад на один провзаимодействовавший нуклон ядра-снаряда уменьшается с ростом A_p , причем это уменьшение, возможно, несколько заметнее для более легкой мишени. Этот экспериментальный факт может быть объяснен двумя обстоятельствами. Во-первых, при прохождении ядра-снаряда через мишень в последней происходит разрушение нуклонных корреляций. С ростом размеров снаряда этот эффект усиливается /при этом относительная доля разрушенных корреляций при фиксированном A_p должна быть больше для более легкого ядра-мишени/. Взаимодействие части нуклонов снаряда с некоррелированными нуклонами мишени не может привести к образованию через механизм малонуклонных корреляций ^{12/} кумулятивных протонов. Частично подавляется также другой механизм, играющий заметную роль в образовании кумулятивных протонов, - поглощение малоэнергичных пионов на скоррелированных нуклонных парах мишени с вылетом протона назад /^{16,18/}.

Во-вторых, вылетающие в заднюю полусферу протоны из мишени могут перерассеяться на нуклонах снаряда и вылететь под меньшими углами /в частности, под углами $\theta_p < 90^\circ$ / . Вклад таких перерассеяний увеличивается с ростом A_p ; при этом ожидается также некоторое изменение /сдвиг в сторону меньших углов/ угловых распределений кумулятивных протонов. Наши экспериментальные данные подтверждают это /рис.2/; более наглядно это изменение видно из табл.4, где представлены отношения $N(90^\circ < \theta < 120^\circ)/N(120^\circ < \theta < 180^\circ)$ выходов протонов, вылетающих назад из ядра углерода при взаимодействии с ним различных снарядов.

Как отмечалось выше, наличие заметной зависимости в выражении /3/ от атомного веса ядра-снаряда A_p означает, что образование кумулятивных протонов в ядро-ядерных столкновениях

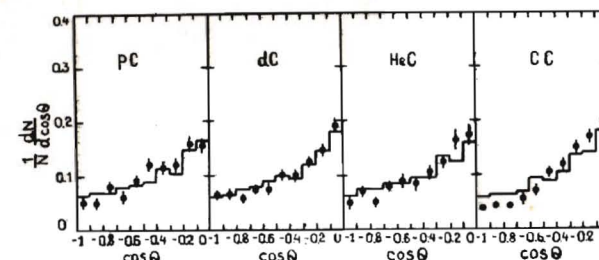


Рис.2. Угловые распределения кумулятивных протонов. Точки - экспериментальные данные, гистограмма на данном и других рисунках - расчет по каскадной модели.

Таблица 4

$A_p C$	pC	dC	He C	CC
$(90^\circ < \theta < 120^\circ)$	$1,93 \pm 0,14$	$1,95 \pm 0,12$	$2,24 \pm 0,18$	$2,89 \pm 0,21$
$(120^\circ < \theta < 180^\circ)$				

нельзя рассматривать как результат независимых взаимодействий нуклонов снаряда с мишенью. Представляется интересным выяснить, какая зависимость от A_p проявляется в инклюзивных спектрах кумулятивных протонов в различных областях фазового пространства. В данной работе такое исследование проведено для углеродной мишени.

Экспериментальные данные по инвариантным инклюзивным сечениям $f = E d^3\sigma/dp^3$ кумулятивных протонов в $A_p C$ -взаимодействиях / $A_p = p, d, He, C$ / при импульсе 4,2 ГэВ/с на нуклон представлены в табл.5-8 и на рис.3 /для pC -взаимодействий/, где приводятся также результаты аппроксимации инвариантных сечений выражением

$$f(T_p, \cos \theta_p) = C(\cos \theta_p) \exp [-T_p / T_0(\cos \theta_p)], \quad /4/$$

где $T_p, \cos \theta_p$ - кинетическая энергия и угол вылета протона.

На рис.3 приводятся также имеющиеся данные по pC -взаимодействиям при близких значениях начального импульса и углов регистрации кумулятивного протона; видно, что согласие наших данных с опубликованными ранее /^{17/} удовлетворительное.

Из представленных данных видно, что инклюзивные спектры с изменением A_p претерпевают определенные изменения. Так, если для налетающего протона и дейтрона зависимость параметра наклона T_0 от угла вылета θ_p практически отсутствует /в преде-

Таблица 5
pC-взаимодействия

T_p , МэВ \ θ_p	90°÷100°	100°÷110°	110°÷130°	130°÷180°
25 ÷ 75	449 ± 45	322 ± 38	304 ± 28	173 ± 19
75 ÷ 125	121 ± 20	89 ± 17	58 ± 10	32 ± 7
125 ÷ 175	31 ± 9	28 ± 8	18 ± 5	17 ± 5
175 ÷ 225	9 ± 4	11 ± 5	5 ± 2	5 ± 2
225 ÷ 275	3 ± 2	3 ± 2	3 ± 2	3 ± 2
T_o	33,8 ± 0,8	42,1 ± 3,2	37,8 ± 0,7	40,6 ± 3,0

dC-взаимодействия

T_p , МэВ \ θ_p	90°÷100°	100°÷110°	110°÷130°	130°÷180°
25 ÷ 75	844 ± 64	610 ± 55	439 ± 35	340 ± 28
75 ÷ 125	228 ± 28	166 ± 24	80 ± 12	76 ± 11
125 ÷ 175	33 ± 9	28 ± 9	33 ± 7	17 ± 5
175 ÷ 225	17 ± 6	19 ± 7	9 ± 3	11 ± 3
225 ÷ 275	10 ± 4	6 ± 3	4 ± 2	5 ± 2
T_o	37,6 ± 0,6	40,0 ± 0,8	38,1 ± 1,1	39,1 ± 1,6

лах ошибок данного эксперимента/, то в HeC- и CC-взаимодействиях наблюдается заметное /примерно в полтора раза/ уменьшение T_o с ростом θ_p ; если в области углов $\theta_p = 90^\circ \div 100^\circ$ энергетические спектры протонов в HeC- и CC-взаимодействиях несколько жестче, чем в pC- и dC-взаимодействиях, то при больших углах $\theta_p = 130^\circ \div 180^\circ$ картина меняется на противоположную, особенно для CC-взаимодействий.

Таблица 5

Таблица 7
HeC-взаимодействия

T_p , МэВ \ θ_p	90°÷100°	100°÷110°	110°÷130°	130°÷180°
25 ÷ 75	1145 ± 125	791 ± 104	718 ± 75	450 ± 54
75 ÷ 125	274 ± 52	225 ± 47	121 ± 26	106 ± 22
125 ÷ 175	134 ± 32	118 ± 30	22 ± 10	15 ± 7
175 ÷ 225	47 ± 18	40 ± 16	8 ± 6	6 ± 4
225 ÷ 275	24 ± 12	7 ± 6	4 ± 3	4 ± 3
T_o	46,4 ± 3,7	45,9 ± 1,4	33,6 ± 0,5	33,1 ± 1,2

Таблица 8
CC-взаимодействия

T_p , МэВ \ θ_p	90°÷100°	100°÷110°	110°÷130°	130°÷180°
25 ÷ 75	2258 ± 166	1672 ± 143	1214 ± 92	662 ± 62
75 ÷ 125	700 ± 78	519 ± 67	264 ± 36	139 ± 24
125 ÷ 175	146 ± 32	167 ± 34	55 ± 15	10 ± 6
175 ÷ 225	96 ± 24	42 ± 16	20 ± 8	6 ± 4
225 ÷ 275	58 ± 17	21 ± 10	15 ± 7	4 ± 3
T_o	44,2 ± 1,4	42,3 ± 2,3	37,1 ± 0,6	27,6 ± 0,9

В табл.9 приведены отношения инвариантных сечений протонов

$$r_{Ap}(T_p, \theta_p) = \frac{1}{A_p} \frac{(Ed^3\sigma/dp^3)_{ApC}}{(Ed^3\sigma/dp^3)_{pC}} \quad /5/$$

для четырех областей изменения кинематических переменных T_p и θ_p . Как видно из табл.9, наиболее заметное падение отношения $r_{Ap}(T_p, \theta_p)$ с ростом A_p /то есть, как отмечалось выше, сильное

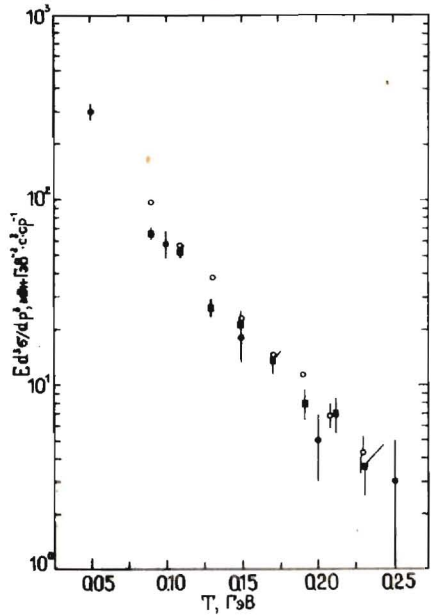


Рис.3. Инвариантные инклюзивные сечения кумулятивных протонов в pC-взаимодействиях:
• - pC-взаимодействия при импульсе 4,2 ГэВ/с, $\theta = 110^\circ - 130^\circ$;
■ - pC-взаимодействия, 3,0 ГэВ/с, $\theta = 119^\circ$;
○ - pC-взаимодействия, 5,0 ГэВ/с, $\theta = 119^\circ$.

Таблица 9

A_p	d	He	C
$25 < T_p < 75$			
$90^\circ < \theta_p < 110^\circ$	$0,94 \pm 0,16$	$0,63 \pm 0,12$	$0,42 \pm 0,08$
$75 < T_p < 275$			
$90^\circ < \theta_p < 110^\circ$	$0,86 \pm 0,15$	$0,74 \pm 0,14$	$0,49 \pm 0,09$
$25 < T_p < 75$			
$110^\circ < \theta_p < 180^\circ$	$0,82 \pm 0,14$	$0,61 \pm 0,12$	$0,33 \pm 0,06$
$75 < T_p < 275$			
$110^\circ < \theta_p < 180^\circ$	$0,83 \pm 0,14$	$0,51 \pm 0,10$	$0,30 \pm 0,05$

влияние эффектов разрушения нуклонных корреляций в ядре-мишени и перерассеяний кумулятивных протонов в ядре-снаряде/ наблюдается в области сравнительно больших углов вылета $\theta_p = 110^\circ + 180^\circ$ и энергий $T_p = 75 + 275$ МэВ.

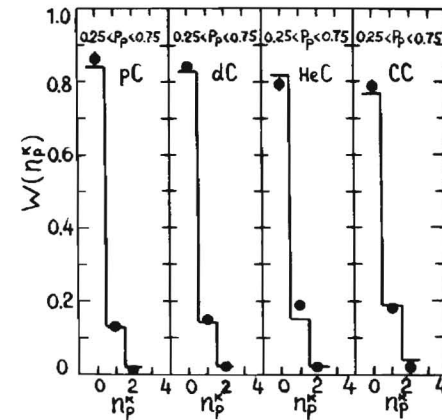


Рис.4. Распределения по множественности кумулятивных протонов.

Рис.5. Импульсные спектры кумулятивных протонов в pC-взаимодействиях.

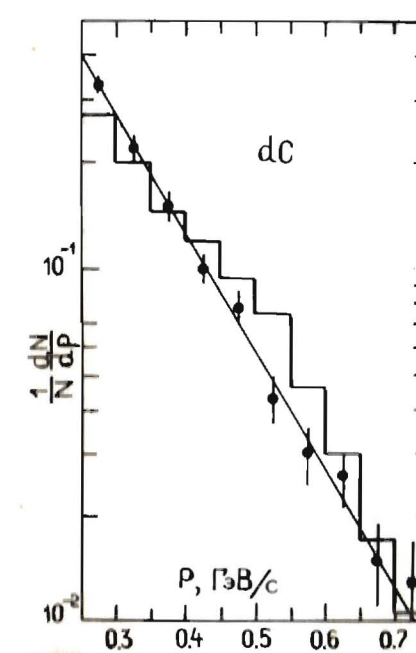
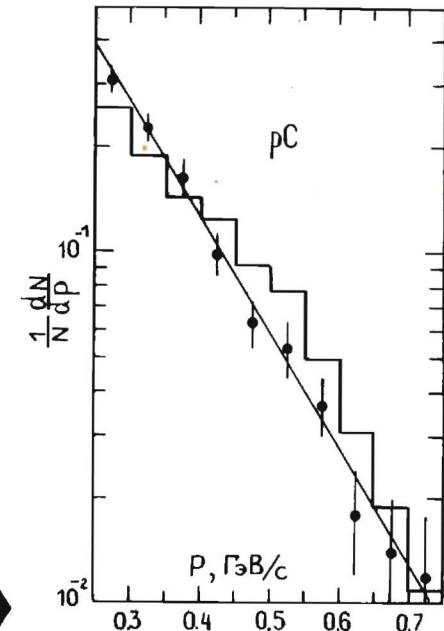


Рис.6. То же, что и на рис.5, для dC-взаимодействий.

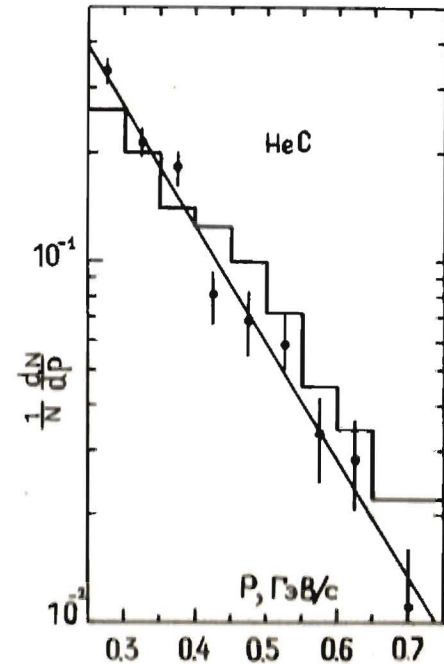


Рис.7. То же, что и на рис.5, для HeC-взаимодействий.

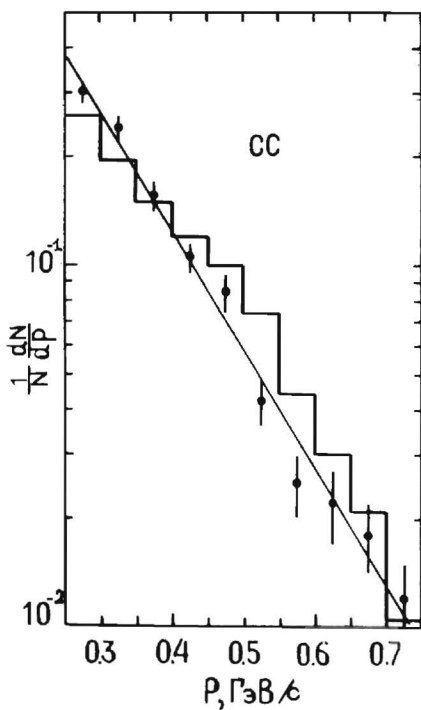


Рис.8. То же, что на рис.5,
для СС-взаимодействий.

На рис.4-8 наши экспериментальные данные для распределений по множественностям и импульсные спектры кумулятивных протонов в (p , d , He , C) C -взаимодействиях сравниваются с предсказаниями дубненской версии каскадной модели /10/. Видно, что модель в целом не плохо описывает указанные распределения, хотя имеется некоторое превышение расчетных средних множественностей над экспериментальными /см.также табл.1/, а импульсные распределения в модели предсказываются несколько более жесткими, чем в эксперименте.

ОСНОВНЫЕ РЕЗУЛЬТАТЫ И ВЫВОДЫ

1. Измерены инклузивные сечения образования протонов с импульсами ($0,25 \pm 0,75$) ГэВ/с, вылетающих в заднюю полусферу в л.с.к., во взаимодействиях протонов, ядердейтерия, гелия и углерода с ядрами углерода и тантала при импульсе 4,2 ГэВ/с на нуклон. Полученные данные согласуются с предсказываемым в модели малонуклонных корреляций "законом подобия" для инклузивных спектров.

Получено приближенное факторизованное выражение для инклузивных сечений: $\sigma_{A_p A_T}^k = \sigma_0^a \cdot A_p^\alpha \cdot A_T^\beta$, где $\sigma_0 = 1,86 \pm 0,16$ мб, $\alpha = 0,66 \pm 0,02$, $\beta = 1,24 \pm 0,02$.

2. Измерены инвариантные инклузивные спектры кумулятивных протонов в $A_p C$ -взаимодействиях / $A_p = p, d, He, C$ / . Получено указание на некоторое подавление выходов протонов из ядра-мишени под большими углами при увеличении атомного веса ядра-снаряда A_p , что может быть интерпретировано как влияние процессов перерассеяния кумулятивных протонов на нуклонах снаряда.

В заключение авторы выражают признательность коллективу сотрудничества по обработке снимков с двухметровой пропановой камеры ЛВЭ ОИЯИ за помощь в получении и обработке экспериментального материала и обсуждения.

ЛИТЕРАТУРА

- Балдин А.М. Краткие сообщения по физике, ФИАН, 1971, т.1, с.35.
- Аникина М.Х. и др. - ЯФ, 1984, т.40, с.489.
- Аникина М.Х. и др. ОИЯИ, 1-84-216, Дубна, 1984.
- Гаспарян А.П. и др. ОИЯИ, Р1-84-327, Дубна, 1984.
- Гаспарян А.П. и др. ОИЯИ, Р1-85-14, Дубна, 1985.
- Гулканян Г.Р. и др. ЕрФИ-643/33/-83, Ереван, 1983.
- Гулканян Г.Р. и др. ОИЯИ, Р1-88-143, Дубна, 1988.
- Ахабабян Н. и др. ОИЯИ, 1-12114, Дубна, 1979.
- Ангелов Н. и др. ОИЯИ, 1-12424, Дубна, 1979.
- Гудима К.К., Тонеев В.Д. - ЯФ, 1978, т.27, с.658; Toneev V.D., Gudima K.K. - Nucl.Phys., 1983, A400, p.173.
- Geaga J.V. et al. - Phys.Rev. Lett., 1980, 45, p.1993.
- Стрикман М.И., Франкфорт Л.Л. - ЯФ, 1980, т.32, с.1403.
- Abdrachmanov E.O. et al. - Z.Physic C, 1980, 5, p.1.
- Гулканян Г.Р. и др. - ЯФ, 1984, т.40, с.745.
- Армутлийски Д. и др. - ЯФ, 1987, т.46, с.12.
- Асатуриян В.М. и др. - ЯФ, 1987, т.45, с.1059.
- Баюков Ю.Д. и др. ИТЭФ-148, М., 1983.

Рукопись поступила в издательский отдел
14 сентября 1988 года.